

# 非晶态 TM-Zr 合金的磁性

黄志高 杨文琴

(福建师范大学物理系)

本文详细地介绍了这类非晶态合金在磁性质、临界行为、自旋波激发、混磁性及吸氢对磁结构影响等方面的研究进展。

## 一、磁矩与居里温度

非晶态磁性材料的磁化强度  $M$ 、超精细场  $B_{hf}$  及居里温度  $T_c$  都与材料的结构、磁相互作用及磁性原子的内禀性质有关，它们是衡量非晶材料磁性质的重要物理量。非晶态铁磁合金中主要的研究对象为：a-TM-M（类金属），TM-RE（稀土金属）及 TM-TM 三大类合金。这

三类合金由于所掺入原子不同，它们的磁结构有很大的差异<sup>[1-3]</sup>。图 1 给出二元  $a\text{-Fe}_x\text{M}_{100-x}$  ( $M = \text{B}, \text{Y}, \text{Zr}$ ) 三类合金的  $T_c$ ,  $n_B$  (玻尔磁子数) 和  $B_{hf}$  随  $x$  的变化关系。 $a\text{-Fe}_x\text{B}_{100-x}$  的  $n_B$ ,  $B_{hf}$  随  $x$  增加而增加，但  $T_c$  约在  $x = 60$  处存在一个极大峰，这反映了该合金中可能存在反铁磁性作用 ( $a\text{-Fe-B}$  合金的因瓦特性之一)。但是，这样的反铁磁耦合还不足以破坏共线的铁磁态，以致到  $x = 100$  时， $T_c$ ,  $n_B$  仍保持为 300K 和  $2.30\mu_B$ 。 $a\text{-Fe}_x\text{Y}_{100-x}$  的  $n_B-x$  关系与  $a\text{-Fe}_x\text{B}_{100-x}$  的类似，但其  $T_c$  很低，这主要是因为  $a\text{-Fe}_x\text{Y}_{100-x}$  合金中存在足以干扰铁磁基态的反铁磁性耦合，使得它的结构成为一种无规的非共线散铁磁体。 $a\text{-Fe}_x\text{Zr}_{100-x}$  有类似于  $a\text{-Fe}_x\text{B}_{100-x}$  的  $T_c-x$  关系，但它的  $n_B-x$  却不同于其它两类非晶态合金，在  $x = 88$  at% 左右处存在极大，并且当  $x = 100$  时， $T_c$ ,  $n_B$  趋于零，即得出纯  $a\text{-Fe}$  的铁磁性消失的结论。然而，Ryan 等人<sup>[3]</sup>的磁测量 (4.2K 时， $n_B$  不随  $x$  变化，而保持为  $1.7\mu_B$ ) 及交流磁化率的研究结果却表明了上述结论是错误的，认为纯  $a\text{-Fe}$  是散反铁磁体。

$a\text{-Fe-Zr}$  及  $\text{Fe-(Cr, Mn)-Zr}$  合金的  $T_c$  一般在室温以下<sup>[4]</sup>。 $\text{Co}, \text{Ni}$  取代  $a\text{-Fe-Zr}$  中  $\text{Fe}$  原子，将对磁性产生很大的影响。Ohuma 等人<sup>[4-6]</sup>对这类合金进行了研究，结果表明：在低  $\text{Co}, \text{Ni}$  含量区， $T_c, n_B, B_{hf}$  随  $\text{Co}, \text{Ni}$  含量的增加而急剧上升；在高  $\text{Co}$  含量区，与晶态  $\text{Fe-Co}$  和  $a\text{-Fe-Co-M}$  合金一样，存在磁稀释定律， $M_{Co}$  和  $M_{Fe}$  保持不变， $M$  和  $B_{hf}$  随  $\text{Co}$

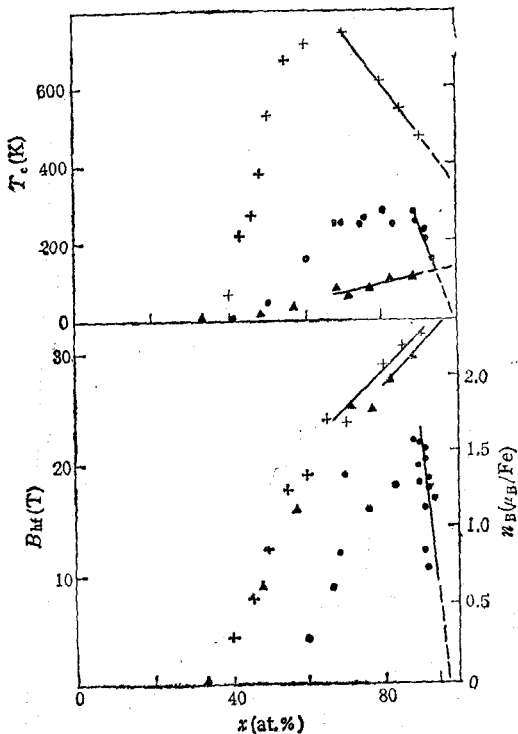


图 1  $a\text{-Fe}_x\text{M}_{100-x}$  ( $M = \text{B}, \text{Y}, \text{Zr}$ ) 合金的  $T_c$ ,  $n_B$  和  $B_{hf}$  随  $x$  的变化  
(+ 表示  $M = \text{B}$ ; ▲ 表示  $M = \text{Y}$ ; ● 表示  $M = \text{Zr}$ )

含量的增加微微地线性减少，随 Cr 含量的增加， $B_{hf}$  线性减小。如图 2 所示，a-TM<sub>90</sub>Zr<sub>10</sub>，TM-M 及晶态合金的  $n_B$ ， $T_c$  随 TM 原子平均外层电子数的变化存在着差异。非晶态合金的  $T_c$  和  $n_B$  明显低于晶态合金的；在低 Co 和 Ni 含量区，a-TM-Zr 不同于 a-TM-M，其  $T_c$  和  $n_B$  急剧上升；而在高 Co 和 Ni 含量区，两者的  $T_c$  和  $n_B$  保持相同的变化趋势。另外，当 Co 和 Ni 完全取代 Fe 后，(Ni, Co)<sub>90</sub>Zr<sub>10</sub> 将是完全的铁磁体。

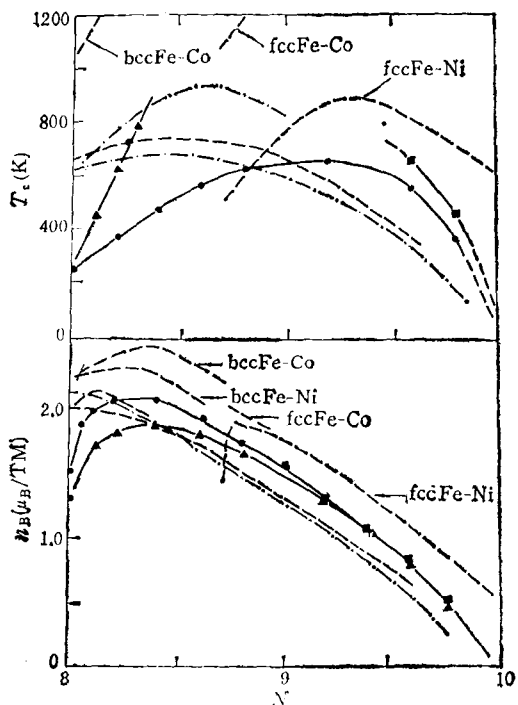


图 2 a-TM-(Zr, B, P) 的居里温度  $T_c$  和  $n_B$  随 TM 原子外层平均电子数的变化  
(实线代表 TM<sub>90</sub>Zr<sub>10</sub>；虚线代表 TM<sub>80</sub>B<sub>20</sub>；点划线代表 TM<sub>80</sub>P<sub>10</sub>B<sub>10</sub>；▲ 代表 Fe-Ni；● 代表 Fe-Co；■ 代表 Co-Ni)

为了解释 a-Fe-Zr 及 Fe-(Co, Ni)-Zr 的异常行为，Ohnuma 等人引入了一种由铁磁和反铁磁态共存的局域化磁结构模型<sup>[4,5]</sup>。用这一模型可以较好地解释上述的磁性质。假如富 Zr 原子团是铁磁性耦合的，而富 Fe 原子团是反铁磁耦合的，则当 Co, Ni 原子取代 Fe 时，由于 Fe-Co 和 Fe-Ni 具有大于 Fe-Fe 的强铁磁耦合，它们将破坏 a-Fe-Zr 中富 Fe 原子

团中的反铁磁耦合，而导致铁磁性的急剧增加，直至完全变为铁磁性。关于铁磁和反铁磁态共存的现象，在其它许多实验中已得到了进一步证实。例如，Ryan 等人<sup>[3,4]</sup>测得了超精细场的双峰分布；Krishnan 等人<sup>[3,6]</sup>得到了不易饱和的磁化曲线；Kaul 等人<sup>[7,8]</sup>进行了小角 X 射线散射和扩展 X 射线吸收精细结构的研究。

## 二、顺磁、铁磁相变的临界行为

在许多非晶态和晶态的铁磁体中，理论和实验表明，比热、磁化率等物理量在顺磁到铁磁相变点  $T_c$  附近（临界区）存在奇点。人们用临界参数  $\beta, \gamma, \delta$  和  $\alpha$  描述临界区行为<sup>[9]</sup>：

$$\sigma(0, T) \propto (-t)^\beta \quad (T < T_c), \quad (1)$$

$$\chi(0, T) \propto t^{-\gamma} \quad (T > T_c), \quad (2)$$

$$\sigma(H, T) \propto H^{1/\delta} \quad (T = T_c), \quad (3)$$

$$C \propto t^{-\alpha} \quad (T > T_c), \quad (4)$$

式中  $\sigma, H, \chi, C$  分别表示磁化强度、外加磁场、磁化率和比热， $t = \frac{T - T_c}{T_c}$ 。已建立了标

度方程：

$$\sigma = |t|^\beta f_\pm(H/|t|^\beta), \quad (5)$$

式中  $f_+$  和  $f_-$  分别表示  $T > T_c$  和  $T < T_c$  两种未知函数，它们通常是不一样的。临界参数间的关系满足 Windom 标度定律：

$$\begin{cases} \beta\delta = \beta + \gamma, \\ \alpha + 2\beta + \gamma = 2. \end{cases} \quad (6)$$

$$\begin{cases} \alpha + 2\beta + \gamma = 2. \end{cases} \quad (7)$$

当  $T$  很接近  $T_c$  时，由于临界起伏是长波长的，故只要系统是宏观均匀的，临界行为与原子结构无关。利用重整化群方法，可计算出三维晶态 Heisenberg 模型（简称 3D 型）的临界参数是<sup>[9]</sup>  $\beta = 0.365$ ,  $\gamma = 1.386$ ,  $\delta = 4.80$ 。表 1 列出了晶态、非晶态铁磁体的临界参数。由表 1 可见，a-TM-M 基本上满足 3D 型的理论数据和标度关系（6）式。但是，对 a-Fe-Zr 合金，不同的作者有不同的结果。Yamauchi 的结果既不满足 3D 型的预言，又不满足标度关系<sup>[10]</sup>；Winschuh 的结果虽然满足标度关系，但  $\gamma$  值较大地偏离 3D 型的理论值<sup>[11]</sup>；Kaul 证明

表 I 部分非晶态样品的临界指数与居里温度

样 品	参 考 文 献	$T_c$ (K)	$\beta$	$\gamma$	$\delta^*$	$\delta$	$\alpha^{**}$
Fe <sub>40</sub> Ni <sub>40</sub> P <sub>14</sub> B <sub>6</sub>	[1]	519.9	0.38	1.31	4.45	4.46	-0.07
Fe <sub>17</sub> Ni <sub>73</sub> B <sub>12</sub> Si <sub>1</sub>	[1]	186.5	0.42	1.35	4.21	4.49	-0.19
Fe <sub>80</sub> P <sub>10</sub> C <sub>2</sub>	[1]	586.5	0.38	1.30	4.42	4.47	-0.06
Co <sub>73</sub> B <sub>20</sub> P <sub>10</sub>	[1]	453.01	0.410	1.30	4.17	4.20	-0.14
Fe <sub>92</sub> Zr <sub>8</sub>	[10]	174.6	0.62	1.92	4.09	5.82	-1.16
Fe <sub>92</sub> Zr <sub>8</sub> ***	[11]	177.4	0.33	1.387	5.20	5.20	-0.047
Fe <sub>90</sub> Zr <sub>10</sub>	[10]	227.6	0.56	1.87	4.34	4.84	-0.99
Fe <sub>90</sub> Zr <sub>10</sub>	[12]	230.0	0.44	1.79	5.07	5.10	-0.68
Fe <sub>90</sub> Zr <sub>10</sub>	[10]	233.0	0.36	1.36	4.78	4.78	-0.08
(Fe <sub>0.98</sub> Co <sub>0.02</sub> ) <sub>90</sub> Zr <sub>10</sub>	[11]	279.0	0.44	1.63	4.7	4.89	-0.61
(Fe <sub>0.96</sub> Ni <sub>0.04</sub> ) <sub>90</sub> Zr <sub>10</sub>	[11]	281.0	0.44	1.82	5.14	5.17	-0.71
3D型	[9]		0.365	1.386	4.80	4.80	-0.016
晶态铁磁体	[1]			1.33		4.2	

\* 通过标度定律(6)式算得的。 \*\* 通过(7)式算得的。

\*\*\* 对[10]中 a-Fe<sub>92</sub>Zr<sub>8</sub> 的原始数据重新计算。

了 a-Fe-Zr 很好地满足 3D 型和标度关系, 认为前二者的偏差来自计算的误差, 同时给出了一种以 Arrott 理论和 Kouvel-Fisher 法形成的渐近迭代算法。Kaul 的结果表明, 无序系统并不影响相变的临界行为。由此他们提出了 a-Fe-Zr 的磁结构是: 在  $T < T_c$  的自旋系统, 存在无限的三维铁磁网络 (3DFM) 和孤立但居于其中的有限的自旋原子团 (FSC); 自旋原子团之间以及自旋原子团与铁磁网络通过阻挫(frustration) 自旋产生 RKKY 相互作用(简称“3DFM + FSC”模型)。

### 三、自旋波激发及磁化强度与温度的关系

自旋波激发是由于热激发而使自旋发生转动, 局部的自旋激发通过邻近的自旋而在整体中以波的形式传播, 从而干扰磁有序, 结果导致自发磁化强度随温度的增加而减小。在许多非晶态铁磁体中, 约化磁化强度(超精细场)与温度的关系为<sup>[4]</sup>

$$\frac{\Delta M(T)}{M(0)} \propto \frac{\Delta B_{hf}(T)}{B_{hf}(0)} = B_{1/2}(T/T_c)^{1/2} + C_{5/2}(T/T_c)^{5/2}, \quad (8)$$

一般情况下,  $T^{5/2}$  项可忽略。(8)式即为 Bloch  $T^{1/2}$  的关系式。

由于非晶态合金中几何拓扑和化学微结构的无序性, 故合金中磁交换相互作用  $J_{ij}$  存在分布涨落  $\Delta J_{ij}$ 。根据分子场的近似法, 可导出另一种约化磁化强度的温度关系为

$$\sigma = 1/2\{B_s[X(1+\delta)] + B_s[X(1-\delta)]\}, \quad (9)$$

其中  $B_s$  为布里渊函数,  $X = \frac{3s}{s+1} \sigma/t$  和  $t = T/T_c$ ,  $s$  是自旋量子数,  $\delta = [(\Delta J_{ij}^2)/\langle J_{ij} \rangle^2]^{1/2}$  表示交换作用的起伏。(9)式已被广泛地用于拟合实验数据, 它体现了交换作用涨落对非晶态磁性的重要影响。

在 a-TM-M 铁磁合金中, 实验结果较好地满足  $T^{3/2}$  关系及  $\delta$  为 0.3—0.5 的(9)式。但是在 a-Fe<sub>x</sub>Zr<sub>100-x</sub> 中, 却发现了一些不同的磁行为。Ryan 等人<sup>[3]</sup>发现了自旋波激发除了  $T^{3/2}$  项外, 还应加上由于横向自旋分量引起的低温激发  $T$  项; Kaul 等人的实验结果<sup>[4,5]</sup>表明,  $T^2$  关系比  $T^{3/2}$  的关系更为适合, 且能更好地满足弱巡游铁磁性理论。基于这一事实, Kaul 建立了弱巡游铁磁性模型, 认为在 a-Fe-Zr 中存在两种磁性电子, 一种是巡游的, 它导致了铁磁性(单粒子贡献)和因瓦异常; 另一种则是局域的, 它导致铁磁性(自旋波贡献)和混磁性。

高 Zr 区的 a-Fe<sub>x</sub>Zr<sub>100-x</sub> 及 a-Fe-(Ni, Co)-Zr 的磁化强度与温度的关系类似于 a-TM-M 的铁磁行为, 用(9)式拟合, 结果与实验

吻合 ( $\delta = 0.5-0.6$ )<sup>[4,13]</sup> 得较好。但是，低 Zr 区 ( $88 \leq x \leq 92$  at %) 的  $a\text{-Fe}_x\text{Zr}_{100-x}$  却有两种磁性 Fe 原子<sup>[14]</sup>：一种是强铁磁耦合 ( $\delta = 0.6$ )，类似于  $a\text{-TM-M}$  的铁磁行为；另一种是类似于稀释 Fe-Mn 合金的弱铁磁耦合，采用布里渊函数描述，得到了  $\xi = 0.7$  ( $\delta = 0.6$ ) 的结果。

#### 四、混 磁 性

自旋玻璃最早用来描述磁稀释合金和在无磁性基体(如 Cu, Au 等)中掺入少量无规分布的磁性原子(如 Fe, Mn 等)所形成的合金(Fe-Au, Cu-Mn 等)，在某一温度  $T_{fg}$  下从顺磁态转变为自旋无规冻结态(自旋玻璃态)的行为。在许多高磁性原子浓度的非晶态合金中已观察到了自旋玻璃行为<sup>[1]</sup>。在晶态和非晶态合金中，观察到了另一类自旋玻璃行为<sup>[15,16]</sup>，其磁化率类似于反铁磁性的，而磁场中冷却的剩磁化强度却是铁磁性的，这种行为称为混磁性<sup>[15]</sup>，即是混合磁性的意思。 $a\text{-Fe}_x\text{Zr}_{100-x}$  ( $88 \leq x \leq 92$  at %) 的磁化率曲线的不可逆性、磁滞回线的时间依赖性和不对称性<sup>[3,13,17]</sup>，体现了混磁性行为。图 3 给出了  $a\text{-Fe}_{90}\text{Zr}_{10}$  和  $\text{Ni}_{90}\text{Zr}_{10}$  在不同外加磁场下  $\sigma(T)$  随  $T$  的变化。以  $a\text{-Fe}_{90}\text{Zr}_{10}$  为例，实线表示样品先在零场下冷却 (300-4.2 K)，然后在如图 3 所示的外场下升温时测得的  $\sigma(T)-T$  的关系，虚线表示直接在外场下从 300K 降温时测得的  $\sigma(T)-T$  的关系。测量结果表明，在  $T_f$  点(铁磁态向混磁态转变温度)之下， $a\text{-Fe}_{90}\text{Zr}_{10}$  的  $\sigma-T$  是不可逆的。 $T_f$  值随外场  $H_{ex}$  线性下降。当  $H_{ex} = 0$  时， $T_f = 40 \pm 1$  K；当  $H_{ex} \approx 3.70 \times 10^{-2}$  T 时， $T_f \rightarrow 0$  (混磁性消失)。Hiroyoshi 等人<sup>[17]</sup>认为， $a\text{-Fe-Zr}$  的混磁性不同于富稀土  $a\text{-(DyAu)}_{90}\text{B}_{10}$  等<sup>[16]</sup> 的机制(由无规取向局域各向异性导致的矫顽力场效应引起的混磁机制)。它应类似于晶态 Cu-Mn 的机制，即在  $a\text{-Fe}_{90}\text{Zr}_{10}$  中铁磁(富 Zr)与反铁磁(富 Fe)两种自旋原子团间的交换耦合，导致一种单轴磁各向异性： $E = -\mu H_A$ 。

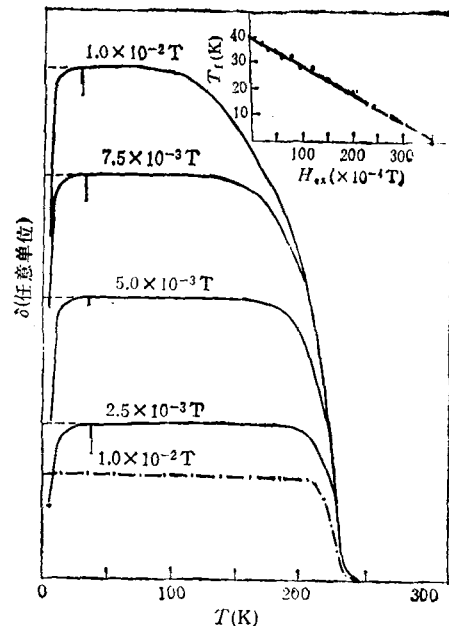


图 3

$\cos^2\alpha$ ,  $\mu$  表示自旋原子团的净磁矩， $H_A$  表示各向异性场， $\alpha$  表示易轴与磁矩的夹角。当  $\alpha$  为 0 或  $\pi$  时，磁矩是稳定的，而这两种取向又被能量为  $E = \mu H_A$  的势垒隔开。当  $T < T_f$  时，由于自旋冻结在某种取向，若外界没有足够的能量(大于  $E$ )，就无法改变自旋态。按照文献 [15] 对 Pd-Cr 混磁性的分析，在外加磁场下，外界能量为  $(K_B T + \mu H_{ex})$ ，在转变点有

$$K_B T_f + \mu H_{ex} = -\mu H_A. \quad (10)$$

若势垒  $E$  不变，则(10)式体现了  $T_f$  与  $H_{ex}$  的线性关系。

#### 五、掺氢对 $a\text{-TM-Zr}$ 合金的影响

非晶态合金吸氢后会导致许多特性的改变<sup>[2,18-20]</sup>。由于非晶态合金结构的无序性，在其中存在大量的自由体积和无晶界，使得氢原子可进入非晶合金的自由空间，导致一系列性质发生变化：(1) 体积膨胀与掺氢量成正比关系；(2) 磁性质发生急剧变化， $M$ ,  $T_c$  和  $B_{ht}$  等随掺氢量增加而急剧增加，在室温下， $a\text{-Fe-Zr}$  的穆斯堡尔谱由掺氢前的顺磁谱变为掺氢后的铁磁谱；(3) 掺氢后， $a\text{-Fe-Zr}$  的磁滞回线

的不对称性消失,低温矫顽力减小;(4)掺氢不影响 $T_c$ 。附近膨胀系数极小(因瓦特征之一),但多出了一个由氢诱导的极大峰<sup>[18]</sup>;(5)掺氢不影响a-Fe-Zr的自发体磁致伸缩<sup>[19]</sup>。

为了解释合金吸氢后的磁特性的改变,目前已提出了若干机制。

(1) 体积效应模型:认为Fe-Fe间的磁相互作用 $J_{ii}$ 对它们间的距离非常敏感。在Slater-Pauling曲线上, $J_{ii}(r)$ 有一个平衡位置 $r_0$ ,当 $r_{ii} > r_0$ 时, $J > 0$ ,表现为铁磁耦合;当 $r_{ii} < r_0$ 时, $J < 0$ ,表现为反铁磁耦合。若 $r_{ii}$ 在 $r_0$ 附近有一个分布,那么合金中将同时存在铁磁和反铁磁相互作用。掺氢后的体积膨胀导致 $r_{ii}$ 的增加,且向更大的 $r_{ii}$ 方向偏离 $r_0$ 位置,即使 $J_{ii} > 0$ 的磁耦合的比例增加,甚至使 $J_{ii} < 0$ 的耦合完全消失。这能很好地解释上述1至3性质的变化,但无法解释4和5。(2)刚性能带模型<sup>[18]</sup>:由于电负性不同,Zr原子的一部分电子转移到Fe原子的3d能带中,使得3d带中向下自旋数目增加,导致Fe原子磁矩下降。当氢进入合金内部时,由于电负性 $\phi$ 大小为: $\phi_{Zr} < \phi_{Fe} < \phi_H$ ,所以原先转移给Fe的电子有一部分给了氢,导致Fe原子中3d带的净自旋数目和 $n_b, T_c, B_{hf}$ 增加。但是,用这一模型同样也无法解释4,5。(3)杂化模型<sup>[20]</sup>:认为,当Fe与Zr原子结合形成合金后,Zr的d,s和p电子与Fe的3d电子杂化,使3d电子之间的磁相互作用强度降低,Fe的能带发生变化,合金的磁性下降。充氢后,由

于氢局域在Zr原子周围,形成ZrHy的原子团,对Zr原子有屏蔽作用,使Fe与Zr原子的接触减少,使Zr原子对外层s,p和d电子与Fe的3d电子的杂化效应降低,最终导致3d电子自旋相互作用增强及3d电子向上自旋和向下自旋的亚能带间的劈裂增加,即磁性增强。但是,这种模型仅仅考虑了杂化效应而忽略了Fe-Fe间距变化的影响,同样不能解释4,5。我们认为掺氢后体积效应与电子结构效应都起着重要的作用。

- [1] T. Kaneyoshi, *Amorphous Magnetism*, CRS Press, Boca Raton, (1984), 6, 59, 131.
- [2] J. M. D. Coey et al., *IEEE Trans. Magn.*, **MAG-20** (1984), 1278.
- [3] D. H. Ryan et al., *Phys. Rev.*, **B35**(1987), 8630.
- [4] 黄志高,物理学报,38(10)(1989),1698.
- [5] S. Ohuma et al., *IEEE Trans. Magn.*, **MAG-16**(1980), 1129.
- [6] R. Krishnan et al., *J. Appl. Phys.*, **55**(1984), 1823.
- [7] S. N. Kall, *J. Appl. Phys.*, **61**(1987), 451.
- [8] H. Teranishi et al., *J. Phys. Soc. Jpn.*, **52**(1983), 3454.
- [9] C. L. Leguillou et al., *Phys. Rev.*, **B21**(1980), 3976.
- [10] H. Yamauchi et al., *J. Phys. Soc. Jpn.*, **53**(1984), 747.
- [11] S. N. Kaul et al., *J. Phys.*, **F18**(1988), 2089.
- [12] K. Winschuh et al., *J. Appl. Phys.*, **61**(1987), 4401.
- [13] S. N. Kaul, *Phys. Rev.*, **B27**(1983), 6923.
- [14] H. Yamamoto et al., *J. Magn. Magn. Mater.*, **31-34** (1983), 1579.
- [15] S. Chakravorty et al., *J. Appl. Phys.*, **42**(1971), 1698.
- [16] G. Hadjipanayis et al., *Phys. Rev.*, **B23**(1971), 2304.
- [17] H. Hiroyoshi et al., *J. Appl. Phys.*, **53**(1982), 226.
- [18] H. Fujimori et al., *J. Appl. Phys.*, **53**(1982), 7792.
- [19] J. M. D. Coey et al., *J. Appl. Phys.*, **55**(1984), 1800.
- [20] 多良等,金属学报,24(1988);B 282.

### (上接第244页)

对高技术领域的激烈的竞争,薄膜型交流电致发光屏必须集中力量解决二个关键性的难题:其一为降低驱动电压;其二为研制红、蓝、绿三基色发光材料。我们高兴地看到,在1988年召开的第四届国际电致发光学术讨论会上,在攻克这两个难题方面已有所进展。面对目标,任重而道远,我们期望为这一目标奋斗的科学家和工程师们成功。

- [1] W. Lehmann, *J. Electrochem. Soc.*, **113**(1966), 40.
- [2] W. Lehmann, *J. Electron. Mater.*, **11**(1982), 341.
- [3] A. G. Fischer, *J. Electrochem. Soc.*, **110**(1962), 733.
- [4] G. Bonfiglioli et al., "On the Theory of Destriau Effect", *AD* 694128, (1969).
- [5] A. Vecht et al., *Nature*, **Lond.**, **210**(1966), 1251.
- [6] M. I. Abdalla et al., *J. Lumin.*, **18/19**(1979), 743.
- [7] T. Miyata et al., *Jap. J. Appl. Phys.*, **9**(1970), 615.
- [8] 周连祥等人,发光与显示,6(1980),7.
- [9] 猪口敏夫,应用物理,44(1975),643.
- [10] D. C. Krupka et al., *J. Appl. Phys.*, **43**(1972), 2314.
- [11] F. Williams, *J. Lumin.*, **18/19**(1979), 941.
- [12] 罗勤,发光学报,10(1989),74.